

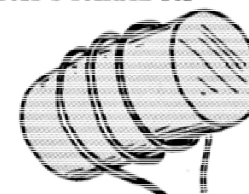
Magnetisme

- Magnetostatikk (ingen tidsvariasjon): $\partial\mathbf{B}/\partial t = 0$
- Kap 27. Magnetiske krefter
- Kap 28: Magnetiske kilder

- Elektrodynamikk: $\partial\mathbf{B}/\partial t \neq 0$
- Kap 29: Elektromagnetisk induksjon
- Kap 30: Induktans
- Kap 31: Vekselstrømskretser
- Kap 32: Elektromagnetiske bølger

FARADAY'S PARADOX

This is a coil of wire with a hunk of iron locked in it.

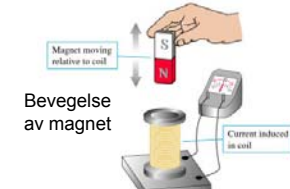


Hvilke er rett,
a,b,c eller d?

- If current is made to flow in the wire, the iron becomes a magnet
- If the iron is a magnet, current is made to flow in the wire
- Both of the first two statements are true
- Both of the first two statements are false

Michael Faraday (eng. 1791-1867) og
Joseph Henry (amer. 1797-1878):
1832: Strøm produseres ved **induksjon**:

Flere muligheter for induksjon:



(Fig 29.1)

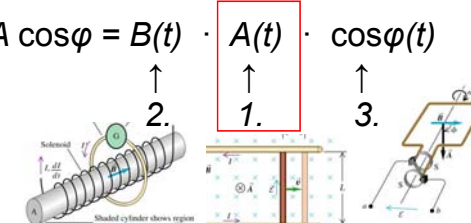
Faradays lov:

Indusert ems: $\mathcal{E} = - d\Phi_B/dt$, der $\Phi_B = \iint \mathbf{B} \cdot d\mathbf{A}$

eller indusert **E**-felt: $\int \mathbf{E} \cdot d\mathbf{s} = - d\Phi_B/dt$

Homogen **B** og plan strømsløyfe:

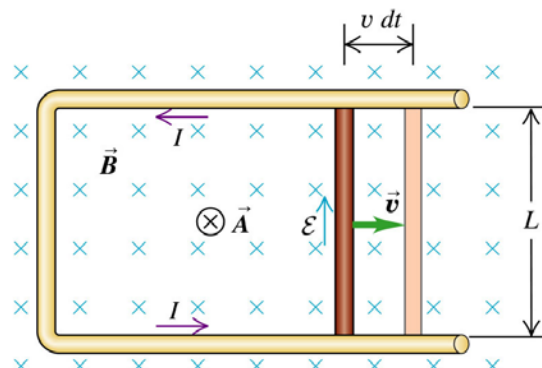
$$\Phi_B = B A \cos\varphi = B(t) \cdot A(t) \cdot \cos\varphi(t)$$



Bevis av Faradays lov:

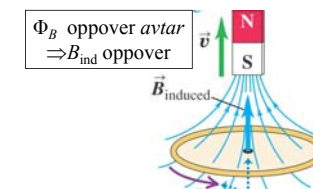
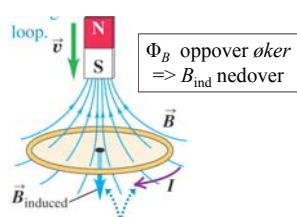
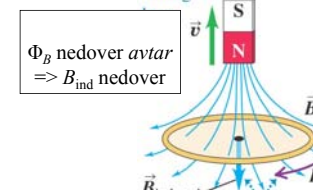
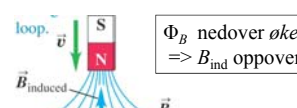
1. Endring $A(t)$:

$$\mathcal{E} = - \frac{d\Phi_B}{dt} = - B \cdot dA(t)/dt \cdot \cos 0^\circ$$



(Fig 29.11)

Induksjon: Lenz' lov



(Fig 29.14)

Le Chateliers prinsipp:

Et system i likevekt som påtvinges en endring: Systemet reagerer med å motvirke endringen.

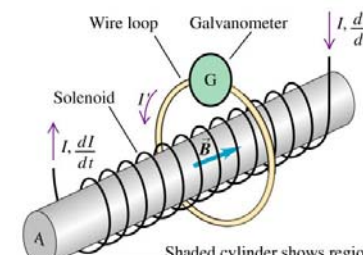
(naturen er konservativ)

Faradays lov:

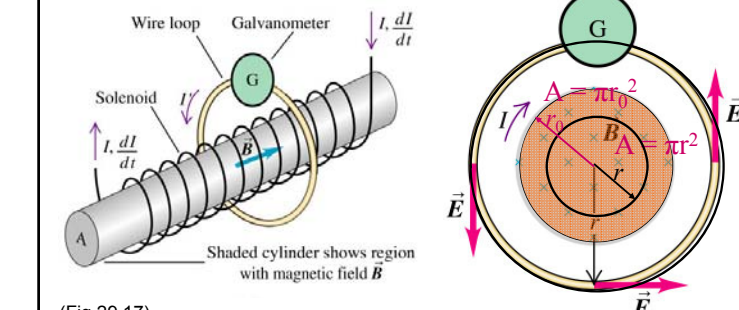
2. Endring $B(t)$:

Indusert e.m.s: $\mathcal{E} = - \frac{d\Phi_B}{dt} = - dB(t)/dt \cdot A \cdot \cos 0^\circ$

bedre: indusert E -felt: $\int \vec{E} \cdot d\vec{s} = - \frac{d\Phi_B}{dt}$



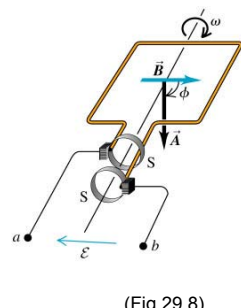
(Fig 29.17)



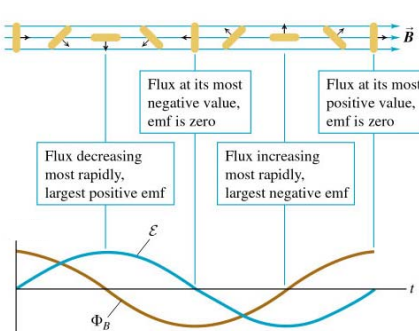
Faradays lov:

3. Endring $\varphi(t)$:

$$\mathcal{E} = - \frac{d\Phi_B}{dt} = - B \cdot A \cdot \frac{d(\cos \varphi)}{dt}$$



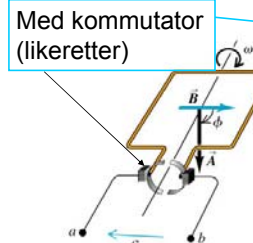
(Fig 29.8)



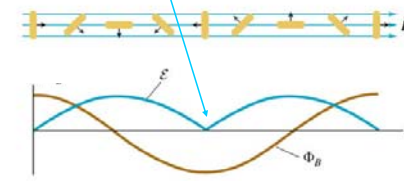
Faradays lov:

3. Endring $\varphi(t)$:

$$\mathcal{E} = - \frac{d\Phi_B}{dt} = - B \cdot A \cdot \frac{d(\cos \varphi)}{dt}$$



Med kommutator
(likeretter)



(Fig 29.10)

Kap. 29: Oppsummering: Elektromagnetisk induksjon

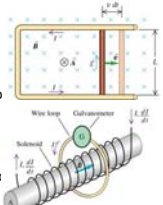
- Faradays lov for homogen B -felt og plan strømsløyfe:

$$\mathcal{E} = - \frac{d\Phi_B}{dt} = - \frac{d}{dt} \{ B(t) \cdot A(t) \cdot \cos \varphi(t) \}$$

- Tre ulike tilfeller:

1) Bevegelsesindusert, endring i $A(t)$:

$$\mathcal{E} = - \frac{d\Phi_B}{dt} = - B \cdot \frac{dA(t)}{dt} \cdot \cos 0^\circ$$

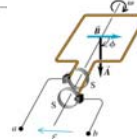


2) Tidsvariasjon i $B(t)$:

$$\mathcal{E} = - \frac{d\Phi_B}{dt} = - B \cdot \frac{dB(t)}{dt} \cdot A \cdot \cos 0^\circ$$

3) Rotasjon, endring i $\varphi(t)$:

$$\mathcal{E} = - \frac{d\Phi_B}{dt} = - B \cdot A \cdot \frac{d(\cos \varphi)}{dt}$$



Kap. 29: Oppsummering: Elektromagnetisk induksjon

- Faradays lov:

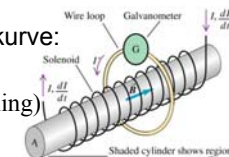
$$\mathcal{E} = - \frac{d\Phi_B}{dt}, \quad \text{der } \Phi_B = \int \mathbf{B} \cdot d\mathbf{A}.$$

Dvs: endring i magnetisk fluks Φ_B induserer ems.

Generelt, induksjon av E -felt i lukket kurve:

$$\int \mathbf{E} \cdot d\mathbf{s} = \mathcal{E} = - \frac{d\Phi_B}{dt}$$

E -felt induseres også i tomrom (uten ledning)



- Lenz' lov: Indusert strøm motsetter seg fluksendringen.

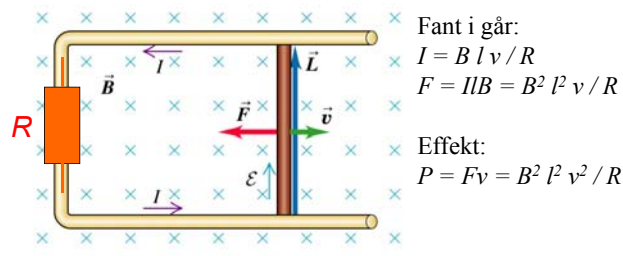
Faradays lov:

1. Endring $A(t)$:

$$\mathcal{E} = -\frac{d\Phi_B}{dt} = -B \cdot \frac{dA(t)}{dt} \cdot \cos 0^\circ$$

Arbeid å flytte tverrstaven

Mekanisk arbeid = elektrisk dissipert energi i R



(Fig 29.12)

Virvelstrømmer. Anwendelser:

- Metalldetektor:

- Minesøking
- Sikkerhetskontroll flyplasser
- Søke etter vannrør
- Deteksjon foran lyskryss
- Søppelsortering (glass/metall)

- Bremser i tog/trikk/buss/sirkelsaç

(virvelstrøm gir varme,
evt. induksjonsbrems gir el.energi)

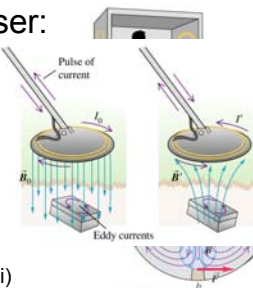
- Wattmålere (husholdning)

- Fartsmålere bil (tidl., nå: digitalt og GPS).

- Induksjonskomfyrer

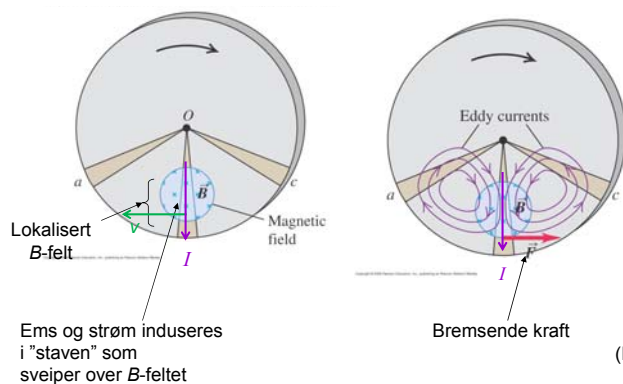
(høyfrekvent strøm og ferromagn.materiale =>
stor B , samt liten innretningstydelse og stor resistans)

- Induksjonssveising.



Virvelstrømmer (Y&F 29.6, ikke pensum).

Eks: B -felt over en del av arealet i
roterende metallskive.

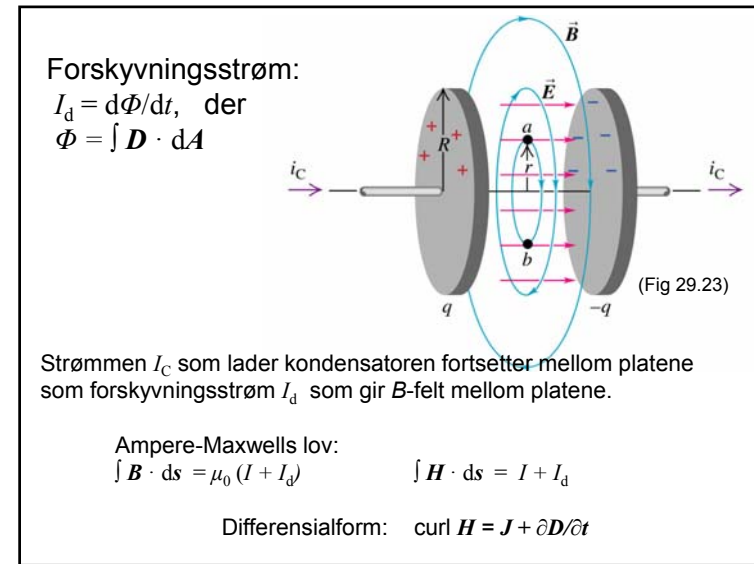
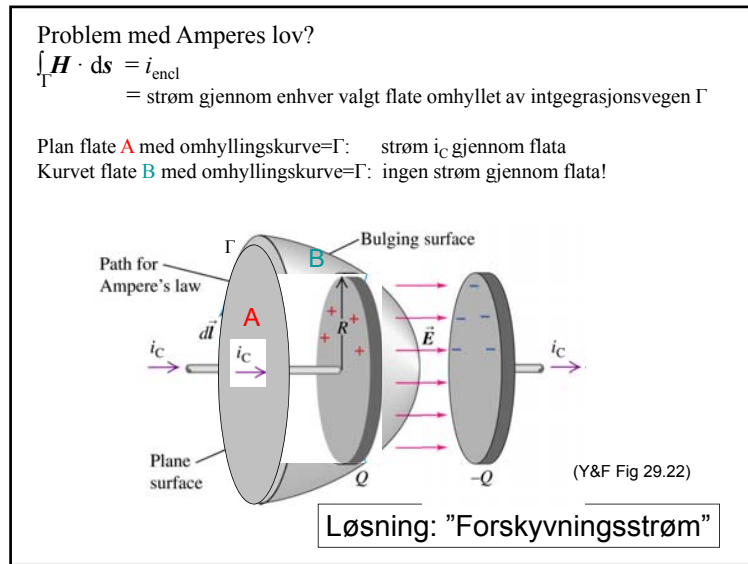
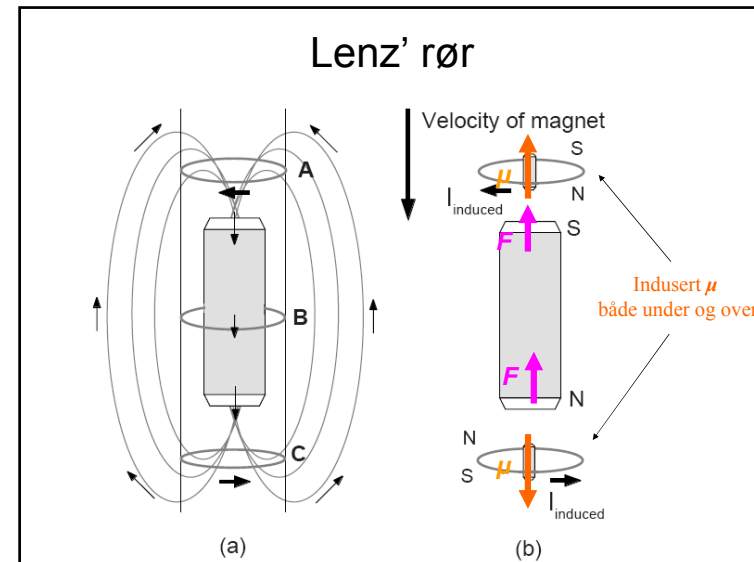
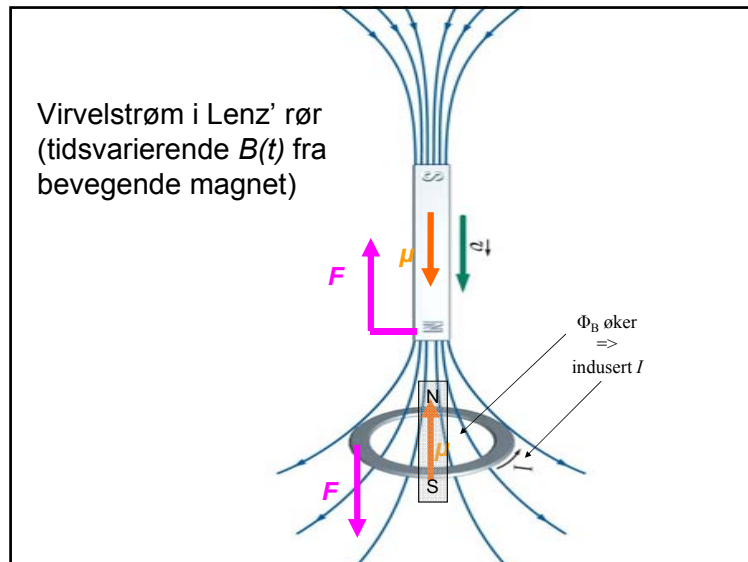


(Fig 29.19)

"Eddy current pendulum"

Video på nettside <http://demoroom.physics.ncsu.edu/html/demos/163.html>





Maxwells likninger i Notat 4

Integralform

$$\oint \vec{D} \cdot d\vec{A} = Q \quad \boxed{\text{Gauss' lov } \mathbf{D}}$$

$$\oint \vec{B} \cdot d\vec{A} = 0 \quad \boxed{\text{Gauss' lov } \mathbf{B}}$$

$$\oint \vec{H} \cdot d\vec{l} = I + \frac{\partial \Phi}{\partial t} \quad \boxed{\text{Amperes lov}}$$

$$\oint \vec{E} \cdot d\vec{l} = -\frac{\partial \Phi_B}{\partial t} \quad \begin{array}{l} \boxed{\text{Faradays lov}} \\ \text{statikk dynamikk} \end{array}$$

Differensialform

$$\nabla \cdot \vec{D} = \rho$$

$$\nabla \cdot \vec{B} = 0$$

$$\nabla \times \vec{H} = \vec{J} + \frac{\partial \vec{D}}{\partial t}$$

$$\nabla \times \vec{E} = -\frac{\partial \vec{B}}{\partial t},$$

Superledere (Y&F 29.8, ikke pensum)

1. Resistans faller brått til ≈ 0 under gitt temp T_c

Resistivitet:

Isolatorer: $\rho \approx 10^{14} \Omega m$

Halvledere: $\rho \approx 1 \Omega m$

Metaller: $\rho \approx 10^{-7} \Omega m$

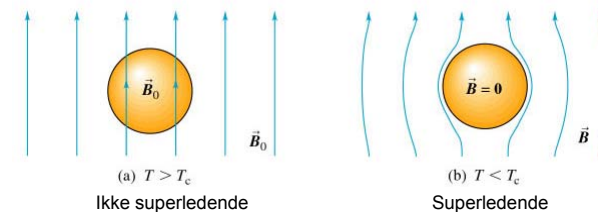
Superledere: $\rho < 10^{-20} \Omega m$

- 1911: H Kammerlingh Onnes: Kvikksølv under $T_c = 4,1 \text{ K}$
(Nobelpris fysikk 1913)
- 1957: BCS-teori (J Bardeen, LN Cooper, JR Schrieffer):
Kvantemekanisk forklaring.
(Nobelpris fysikk 1972)
- 1986: J. Bednorz, KA Müller: Visse oksider:
superledning opp til $T_c \approx 100 \text{ K}$.
(Flytende N₂ har temp 77 K.)
(Nobelpris fysikk 1987)

Metaller	T_c (K)
Al	1.18
In	3.41
Sn	3.72
Ta	4.47
V	5.40
Pb	7.20
Nb	9.25
Hg	4.12
Ga	1.07
<i>Legeringer og sammensetninger</i>	
Pb-In	7
Pb-Bi	8.3
Nb-Ti	9.5
Nb-Zr	10.7
Nb-N	16.0
V ₃ Ge	15.3
V ₃ Si	16.3
Nb ₃ Sn	18.0
Nb ₃ Ge	23.2
Kritiske temperaturer for superledere	
(Flytende N ₂ har temp 77 K.)	
<i>Oksider</i>	
BaPb _{0.75} B _{0.25} O ₃	13
La _{1.85} Ba _{0.15} CuO ₄	36
Bi ₂ Sr ₂ Ca ₂ O ₈	84
Tl ₂ Ba ₂ Ca ₂ Cu ₃ O ₁₀	125
<i>Fulleren</i>	
K ₃ C ₆₀	18
Rb ₃ C ₆₀	28
Cs ₂ RbC ₆₀	33
(Tab. 21.4 i Lillestøl,Hunderi,Lien)	

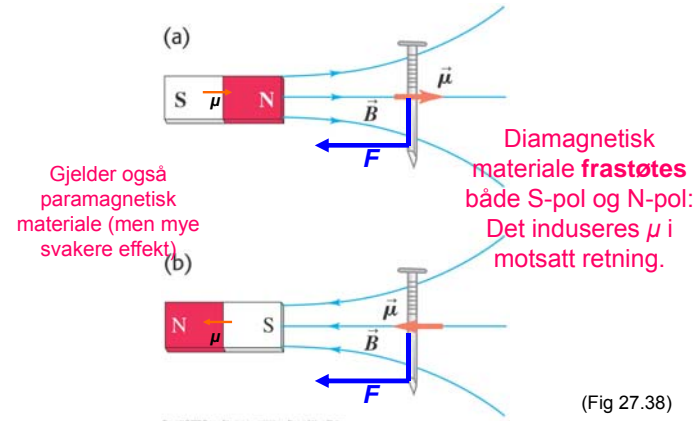
Superledere

2. Magnetfelt trekker ikke inn i superledere, $B = \mu_r \mu_0 H = 0$ inni.



dvs. superledere er perfekt diamagnetisk: (Fig 29.25)
 $\chi_m = -1 \quad \mu_r = 0$
 ved rimelig svake magnetfelt.
 (Meissner-effekt)

Jern tiltrekkes både S-pol og N-pol (i inhomogent felt).

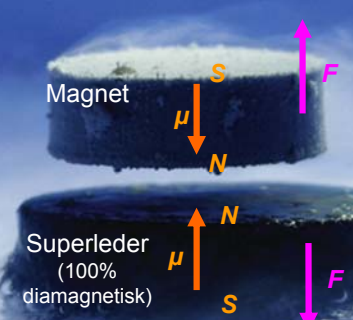


Materiale	Magnet
ferromagnetisk	$\mu_r \gg 1$
paramagnetisk	$\mu_r \approx 1^+$
diamagnetisk	$\mu_r \approx 1^-$
superleder	$\mu_r \approx 0$
	tiltrekkes sterkt
	tiltrekkes svakt
	frastøtes svakt
	frastøtes sterkt

Demo av vann som diamagnetisk materiale:

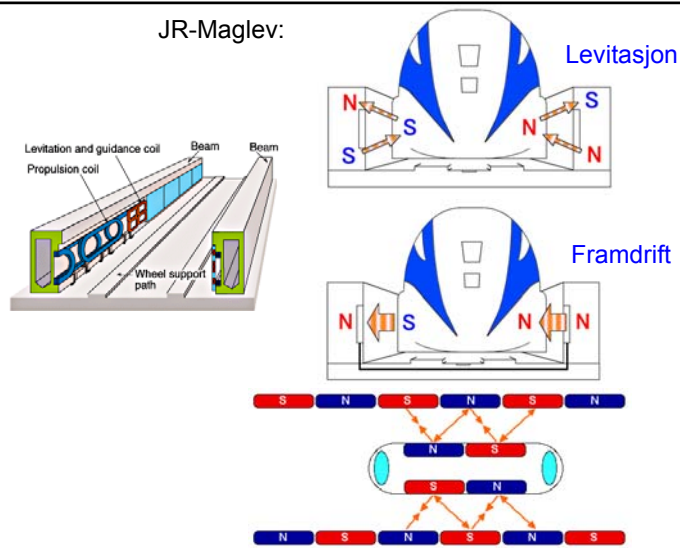
<http://www.youtube.com/watch?v=jyqOTJOJSoU>

Magnetisk levitasjon



Demo: <http://www.youtube.com/watch?v=nWTSzBWEsm>

JR-Maglev:



Nytte av superledere:

- Produksjon av sterke B-felt (> 1 T):
 - MR-instrument i medisin og NMR-instrument i vitenskapen
 - I noen Maglev-tog (magnet-svevetog):
http://en.wikipedia.org/wiki/Maglev_train
- Elektrisk kraftoverføring?
 Forsøk på gang (korte strekninger).

Kap. 29: Oppsummering: Elektromagnetisk induksjon

- Faradays lov for homogent B -felt og plan strømsløye:

$$\mathcal{E} = - \frac{d\Phi_B}{dt} = - \frac{d}{dt} \{ B(t) \cdot A(t) \cdot \cos\varphi(t) \}$$

- Tre ulike tilfeller:

- Bevegelsesindusert, endring i $A(t)$:

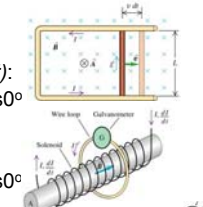
$$\mathcal{E} = - \frac{d\Phi_B}{dt} = - B \cdot \frac{dA(t)}{dt} \cdot \cos 0^\circ$$

- Tidsvariasjon i $B(t)$:

$$\mathcal{E} = - \frac{d\Phi_B}{dt} = - \frac{dB(t)}{dt} \cdot A \cdot \cos 0^\circ$$

- Rotasjon, endring i $\varphi(t)$:

$$\mathcal{E} = - \frac{d\Phi_B}{dt} = - B \cdot A \cdot \frac{d(\cos \varphi)}{dt}$$



Kap. 29: Oppsummering: Elektromagnetisk induksjon

- Faradays lov:

$$\mathcal{E} = - \frac{d\Phi_B}{dt}, \quad \text{der } \Phi_B = \int \mathbf{B} \cdot d\mathbf{A}.$$

 Dvs: endring i magnetisk fluks Φ_B induserer ems.
 Generelt, induksjon av E -felt i lukket kurve:

$$\oint \mathbf{E} \cdot d\mathbf{s} = \mathcal{E} = - \frac{d\Phi_B}{dt}$$
- Lenz' lov: Indusert strøm motsetter seg fluksendringen.
- Virvelstrømmer.
- Forskyvningsstrøm: $I_d = d\Phi/dt$, der $\Phi = \int \mathbf{D} \cdot d\mathbf{A}$.

Ampere-Maxwells lov:

$$\oint \mathbf{B} \cdot d\mathbf{s} = \mu_0 (I + I_d)$$

$$\oint \mathbf{H} \cdot d\mathbf{s} = I + I_d$$

Differensialform: $\text{curl } \mathbf{H} = \mathbf{J} + \partial \mathbf{D} / \partial t$

Elmagsirkelen

$$\oint \vec{E} \cdot d\vec{l} = - \frac{\partial \Phi_B}{\partial t} \quad (4) \text{ (Faraday)} \quad \begin{cases} q & (\text{Coulomb}) \\ \Phi_B & (\text{Gauss}) \\ \mathbf{B} = \mu \mathbf{H} & \\ \oint \vec{B} \cdot d\vec{A} = 0 & (2) \end{cases} \quad \begin{cases} \mathbf{E} & \\ D = \epsilon \mathbf{E} & \\ \oint \vec{E} \cdot d\vec{A} = \frac{Q}{\epsilon_0} & (1) \end{cases}$$

$$\oint \vec{H} \cdot d\vec{l} = I + \frac{\partial \Phi}{\partial t} \quad (3) \quad \begin{cases} \Phi = \iint \mathbf{D} \cdot d\mathbf{A} & \\ H & (\text{Bio-Savart}) \\ I & (\text{Ampere}) \\ \partial / \partial t & (\text{utvidet Ampere}) \end{cases}$$